
Implantation parallèle Méthodes de méthodes
itératives en algèbre linéaire creuse

Projet CCA

Encadrant : Charles BOUILLAGUET

BLIBEK RANIA 21215298
IDRES AMINE 21322043

Chapitre 1

Introduction

Dans le domaine de la cryptographie moderne, la sécurité de nombreux systèmes repose sur la difficulté de résoudre certains problèmes mathématiques, notamment la factorisation de grands entiers et le calcul des logarithmes discrets dans des corps finis. L'algorithme de crible algébrique général (General Number Field Sieve, ou GNFS) se distingue comme l'un des outils les plus puissants pour aborder ces problèmes. Utilisé principalement pour casser des systèmes cryptographiques dont la sécurité dépend de ces problèmes difficiles, le GNFS présente une complexité sous-exponentielle, ce qui le rend beaucoup plus efficace que les méthodes de factorisation traditionnelles pour les grands nombres.

Ce rapport explore en profondeur le fonctionnement du GNFS, avec une attention particulière portée à une de ses phases cruciales : la phase dite de “merge” (fusion). Cette phase, qui intervient après la collecte initiale des relations et avant l'étape d'algèbre linéaire, est essentielle pour réduire la taille de la matrice résultante et optimiser le processus de factorisation.

Nous commencerons par une vue d'ensemble du GNFS et de son application dans la factorisation des modules RSA et le calcul des logarithmes discrets. Ensuite, nous nous concentrerons sur l'algorithme CADO-NFS, une implémentation bien connue du GNFS, et examinerons les différentes stratégies de fusion qu'il utilise. Plus spécifiquement, nous mettrons en lumière la méthode SWAR (Simultaneous Wavefront Add and Remove), une stratégie de fusion qui combine les relations collectées de manière progressive pour améliorer l'efficacité globale du criblage.

La phase de “merge” dans CADO-NFS vise à fusionner les relations en formant des ensembles plus grands et plus significatifs, ce qui simplifie le système d'équations à résoudre par la suite. Nous décrirons les étapes spécifiques de cette phase, en incluant les techniques de gestion de la mémoire, les ajustements des seuils de fusion, et l'application des fusions elles-mêmes.

En outre, ce rapport présente une amélioration proposée de l'algorithme de fusion utilisé dans CADO-NFS. En optimisant la variable *cwmax*, qui contrôle le coût maximal autorisé pour l'élimination d'une colonne, nous montrons comment cette amélioration permet d'augmenter l'efficacité de l'algorithme en réduisant davantage la taille de la matrice et en accélérant le processus de factorisation.

Les résultats expérimentaux comparant la version originale et la version améliorée de l'algorithme mettent en évidence les gains de performance obtenus grâce à cette optimisation. Nous analyserons ces résultats en termes de réduction du nombre de lignes et de colonnes, de poids total des colonnes, et de l'utilisation de la mémoire, démontrant ainsi l'efficacité de notre approche améliorée.

En conclusion, ce rapport offre une vision détaillée et technique de l'algorithme GNFS et de ses améliorations potentielles, en fournissant des insights précieux pour les chercheurs et les praticiens de la cryptographie intéressés par l'optimisation des algorithmes de factorisation.

Chapitre 2

Stratégies pour la phase dite de “merge” dans le crible algébrique

L’algorithme de crible algébrique général (General Number Field Sieve ou GNFS) est un outil puissant qui peut être utilisé pour casser certains systèmes cryptographiques dont la sécurité repose sur la difficulté de factoriser de grands nombres entiers ou de calculer des logarithmes discrets dans des corps finis.

Il peut être employé pour casser de tels systèmes cryptographiques :

Factorisation des modules RSA :

Le système cryptographique RSA est l’un des systèmes à clé publique les plus largement utilisés, et sa sécurité repose sur la difficulté présumée de factoriser le produit de deux grands nombres premiers (le module RSA). L’algorithme GNFS peut être utilisé pour factoriser le module RSA $n = pq$, où p et q sont de grands nombres premiers.

Si un attaquant peut factoriser n à l’aide de l’algorithme GNFS, il peut alors calculer l’indicatrice d’Euler $\phi(n) = (p-1)(q-1)$ et dériver la clé privée d à partir de la clé publique e en utilisant $d = e^{-1} \bmod \phi(n)$. Avec la clé privée, l’attaquant peut déchiffrer n’importe quel texte chiffré avec la clé publique correspondante, brisant ainsi le système cryptographique RSA.

Calcul de logarithmes discrets :

De nombreux autres systèmes cryptographiques, tels que l’échange de clés Diffie-Hellman et l’algorithme de signature numérique (DSA), reposent sur la difficulté de calculer les logarithmes discrets dans certains corps finis ou groupes pour leur sécurité. L’algorithme GNFS peut être adapté pour calculer les logarithmes discrets dans les corps finis de la forme $\text{GF}(p)$, où p est un nombre premier. En calculant le logarithme discret, un attaquant peut casser le système cryptographique sous-jacent et récupérer les clés secrètes ou forger des signatures numériques.

L’algorithme GNFS fonctionne en trouvant des congruences de carrés modulo l’entier à factoriser (ou le module premier dans le cas des logarithmes discrets). Ces congruences sont ensuite combinées pour produire une congruence de carrés qui peut être utilisée pour factoriser l’entier ou calculer le logarithme discret. L’algorithme GNFS a une complexité sous-exponentielle, ce qui le rend beaucoup plus efficace que d’autres algorithmes de factorisation pour les grands entiers. Cependant, c’est toujours un algorithme de temps exponentiel, et son temps d’exécution augmente rapidement avec la taille de l’entrée.

Il est important de noter que l’algorithme GNFS est un algorithme classique (non quantique), et sa menace pour les systèmes cryptographiques est atténuée par l’utilisation de tailles de clés suffisamment grandes. Avec l’augmentation de la puissance de calcul et les améliorations algorithmiques, les tailles de clés devront peut-être être augmentées pour maintenir le niveau de sécurité souhaité contre le GNFS et d’autres algorithmes de factorisation classiques.

Chapitre 3

CADO NFS

La factorisation d'entiers et le calcul de logarithmes discrets sont deux problèmes majeurs en cryptographie. Il est conçu pour résoudre ces problèmes en utilisant la méthode du crible algébrique.

Le crible algébrique est un algorithme sous-exponentiel qui permet de factoriser un entier N en $O\left(\exp\left((\log N)^{1/3}\right)\right)$.

Le crible algébrique est également utilisé pour calculer des logarithmes discrets dans les corps finis.

La sous-étape "merge" de l'algorithme CADO-NFS est une étape cruciale dans le processus de filtrage. Elle permet de réduire la taille de la matrice générée par les relations collectées durant la phase de crible, en combinant ces relations de manière à minimiser le nombre de lignes et de colonnes de la matrice avant l'étape d'algèbre linéaire. Cette phase intervient après la phase de "purge" où les relations de dépendance inutiles sont éliminées. La phase de "merge" consiste à fusionner les relations restantes pour former des relations plus grandes et plus significatives. Cette fusion permet d'optimiser le processus de factorisation en réduisant le nombre total de relations à traiter.

Plus précisément, lors de la phase de "merge", les relations sont combinées de manière stratégique pour former des relations plus denses et plus utiles pour le processus de factorisation. Cette étape vise à améliorer l'efficacité du processus de criblage et à réduire le temps nécessaire pour factoriser l'entier cible.

Stratégies de Fusion

CADO-NFS implémente deux principales stratégies de fusion :

Fusion SWAR (Simultaneous Wavefront Add and Remove) :

Cette approche consiste à d'abord fusionner toutes les paires de relations possibles (2-merges), puis à fusionner les triplets de relations (3-merges), et ainsi de suite. Cela permet d'optimiser la fusion des relations de manière progressive.

Fusion Markowitz :

Cette méthode utilise le pivot de Markowitz pour choisir la meilleure fusion parmi les options disponibles. Le pivot de Markowitz est une technique de sélection qui vise à minimiser le nombre d'opérations nécessaires pour fusionner les relations.

On s'intéresse à la fusion SWAR

Étape 1 - Fusion des Paires de Relations (2-merges)

Dans la première étape de la Fusion SWAR, toutes les paires possibles de relations sont fusionnées pour former de nouvelles relations combinées. Cela signifie que chaque paire de relations est examinée et fusionnée pour créer une nouvelle relation plus significative.

Étape 2 - Fusion des Triplets de Relations (3-merges)

Après avoir fusionné toutes les paires de relations, la Fusion SWAR passe à l'étape suivante où les triplets de relations sont combinés pour former de nouvelles relations. Cette étape permet de regrouper un plus grand nombre de relations pour créer des ensembles plus denses.

Processus de Fusion Simultanée

L'aspect clé de la Fusion SWAR est sa capacité à fusionner les relations de manière simultanée. Plutôt que de fusionner une paire de relations à la fois, la Fusion SWAR peut traiter plusieurs paires ou triplets de relations en parallèle, ce qui accélère le processus de fusion et optimise l'efficacité de la phase de "merge".

Avantages de la Fusion SWAR

La Fusion SWAR permet une fusion progressive et simultanée des relations, ce qui contribue à former des ensembles de relations plus denses et significatives. En combinant plusieurs relations en même temps, la Fusion SWAR optimise l'utilisation des ressources et accélère le processus de factorisation.

Optimisation du Processus de Factorisation

En utilisant la Fusion SWAR, CADO-NFS peut efficacement regrouper les relations restantes pour former des ensembles plus importants, réduisant ainsi le nombre total de relations à traiter. Cette optimisation du processus de factorisation contribue à accélérer la factorisation des entiers cibles de manière significative.

L'algorithme de fusion des colonnes de CADO-NFS identifie et combine les colonnes dépendantes sans perte d'information, puis met à jour le système d'équations en supprimant les redondances. Ce processus sera détaillé dans le chapitre suivant.

Chapitre 4

Fonctionnement de la fusion de colonnes

Identification des colonnes à fusionner : L'algorithme analyse les relations entre les colonnes et identifie celles qui peuvent être combinées sans perte d'information. Cela se fait en évaluant la dépendance linéaire entre les colonnes et en tenant compte de leur poids (importance relative).

Fusion des colonnes sélectionnées : Les colonnes identifiées comme pouvant être fusionnées sont combinées en une seule nouvelle colonne. Cela implique de modifier les coefficients des relations correspondantes dans le système d'équations.

Mise à jour du système d'équations : Après la fusion, le système d'équations est mis à jour pour refléter les modifications apportées. Cela inclut la suppression des colonnes redondantes et la mise à jour des coefficients des relations restantes.

L'élimination des colonnes procure de nombreux avantages :

Réduction de la taille du système d'équations : En supprimant les colonnes redondantes, le nombre d'inconnues et la complexité du système diminuent, ce qui facilite sa résolution.

Amélioration de la stabilité numérique : L'élimination des colonnes peut améliorer la stabilité numérique du système, en réduisant les erreurs de calcul et en augmentant la précision des résultats.

Gain de performance : La simplification du système d'équations se traduit par un gain de temps de calcul et une réduction des ressources nécessaires à sa résolution.

Implémentation de la fusion dans CADO-NFS

Algorithm 1 Version originale pour augmenter $cwmax$

Input: matrice mat avec n lignes and m colonnes, nombre de fusions, nombre de fusions possibles

```
1: procedure AUGMENTERCWMAXORIGINALE( $mat$ ,  $nmerges$ ,  $n\_possible\_merges$ )
2:   if Toutes les colonnes de poids 2 ont été éliminé then
3:     if nombre de fusions = nombre de fusions possibles then
4:        $cwmax \leftarrow cwmax + 1$ 
5:     end if
6:   else
7:     if  $cwmax < \text{nombre de fusions maximum} = 32$  then
8:        $cwmax \leftarrow cwmax + 1$ 
9:     end if
10:  end if
11: end procedure
```

Dans l'algorithme de "merge" (fusion) de la Structured Gaussian Elimination (SGE) utilisé dans CADO-NFS, $cwmax$ est une variable qui contrôle le coût maximal autorisé pour l'élimination d'une colonne. Plus précisément, $cwmax$ joue le rôle suivant :

- À chaque itération de la boucle principale, on forme une sous-matrice S contenant les colonnes de poids inférieur ou égal à $wmax$ (nombre de fusions maximum = 32).
- Pour chaque ligne de la transposée R de S , on calcule une borne supérieure c sur le coût d'élimination de la colonne correspondante dans la matrice M .
- Si $c \leq cwmmax$, alors la colonne est ajoutée à un ensemble L de colonnes candidates à l'élimination.
- Un grand ensemble indépendant J de colonnes de L avec un coût total faible est extrait et éliminé de M .

Ainsi, $cwmmax$ permet de contrôler quelles colonnes sont considérées pour l'élimination en fonction de leur coût estimé. En augmentant $cwmmax$, on autorise l'élimination de colonnes plus coûteuses, ce qui peut réduire davantage la taille de la matrice, mais au prix d'un surcoût potentiel.

Fusion des colonnes

1. **Gestion de la mémoire :**
 - Si `merge_pass` (numéro de passe de fusion) est égal à 2 ou si `mat->cwmmax` (nombre maximum de colonnes pouvant être fusionnées) est supérieur à 2, la fonction `heap_garbage_collection` est appelée. Cette fonction libère probablement de la mémoire inutilisée pour optimiser la gestion de la mémoire pendant la fusion.
2. **Ajustement du seuil de fusion (cbound) :**
 - Une fois que `mat->cwmmax` dépasse 2, la variable `cbound` est incrémentée par `cbound_incr`. `cbound` représente un seuil utilisé pour déterminer les fusions possibles. Sa valeur affecte la rapidité et la taille du système final. Un `cbound_incr` plus faible conduit à des matrices finales plus petites mais des fusions plus lentes.
3. **Stockage des valeurs de référence :**
 - Plusieurs variables stockent des valeurs du nombre de lignes restantes (`lastN`), du poids total des colonnes (`lastW`) et du rapport poids/nombre de lignes (`lastWoverN`) avant la passe de fusion. Ces valeurs serviront ensuite à suivre l'évolution du système.
4. **Calcul des relations possibles :**
 - La section commentée avec `#ifdef TRACE_J` est probablement utilisée pour du débogage et permet d'afficher des informations sur certaines relations spécifiques.
5. **Informations de débogage :**
 - La section commentée avec `#ifdef BIG_BROTHER` affiche des informations sur le numéro de passe, le nombre maximum de colonnes pouvant être fusionnées (`cwmmax`) et le seuil de fusion (`cbound`). Ces informations sont utiles pour comprendre l'évolution de l'algorithme.
6. **Calcul des relations possibles :**
 - La fonction `compute_R` calcule les nouvelles relations possibles en tenant compte des fusions potentielles.
7. **Allocation de mémoire temporaire :**
 - Un tableau temporaire `L` est alloué pour stocker des indices utilisés pendant la phase de fusion.
8. **Recherche des fusions possibles :**
 - La fonction `compute_merges` analyse les relations possibles et stocke les indices des fusions potentielles dans le tableau `L`. Elle renvoie également le nombre total de fusions possibles (`n_possible_merges`).
9. **Application des fusions :**
 - La fonction `apply_merges` utilise le tableau `L` et le nombre de fusions possibles pour fusionner les colonnes identifiées. Elle renvoie le nombre réel de fusions effectuées (`nmerges`).
10. **Libération de mémoire :**
 - La mémoire allouée pour le tableau temporaire `L` est libérée.
11. **Libération de mémoire supplémentaire :**
 - La mémoire allouée pour un autre tableau temporaire (`mat->Ri`) est également libérée.
12. **Vérification des fusions :**
 - Si aucune fusion n'a été effectuée (`nmerges` est nul) alors que des fusions étaient possibles (`n_possible_merges` est supérieur à zéro), une erreur est signalée. Cela indique probablement un problème de tri dans les relations.
13. **Stratégie de fusion pour la prochaine passe :**
 - Le code gère la façon dont le nombre maximum de colonnes pouvant être fusionnées (`mat->cwmmax`) évolue en fonction du nombre de fusions réalisées.
14. **Recompression :**

- Si le nombre de colonnes restantes (`mat->rem_ncols`) devient inférieur à un certain seuil (66% du nombre de colonnes initial), une recompression est effectuée via la fonction `recompress`. La recompression permet d'optimiser la gestion de la mémoire en supprimant les lignes et colonnes vides.
15. **Mesure des performances et informations de sortie :**
- Le code calcule le temps CPU et le temps écoulé depuis le début de la passe de fusion.
 - Il affiche ces informations avec l'étiquette "`pass took`". Ces mesures permettent d'évaluer l'efficacité de la phase de fusion.
 - Le code met à jour des variables pour cumuler le temps CPU et le temps écoulé total.
 - La section commentée avec `#ifdef BIG_BROTHER` (facultative) affiche des informations supplémentaires sur le temps total écoulé.
 - Le code calcule un taux de remplissage moyen en se basant sur l'augmentation du poids total des colonnes par rapport au nombre de lignes supprimées.
 - Il affiche un ensemble d'informations de sortie résumant l'état actuel de l'algorithme :
 - Nombre de lignes restantes (`mat->rem_nrows`).
 - Poids total des colonnes (`mat->tot_weight`).
 - Estimation de la mémoire utilisée en Mo.
 - Rapport poids/nombre de lignes.
 - Taux de remplissage moyen.
 - Temps CPU et temps écoulé depuis le début de l'exécution.
 - Numéro de passe de fusion (`merge_pass`).
 - Nombre maximum de colonnes pouvant être fusionnées (`mat->cwmax`).
 - Le code force la vidange du buffer de sortie (`fflush`) pour garantir l'affichage immédiat des informations.

Condition de terminaison de la boucle

La boucle principale se répète tant que la condition de terminaison n'est pas atteinte.

Le code vérifie si la densité moyenne (calculée en interne) est supérieure ou égale à une densité cible (`target_density`). La densité est une mesure de la "pleineur" du système d'équations linéaires.

Arrêt alternatif en cas de faible potentiel de fusion

Le code prévoit un arrêt alternatif en cas de faible potentiel de fusion.

Si aucune fusion n'a été effectuée (`nmerges` est nul) et que le nombre maximum de colonnes pouvant être fusionnées (`mat->cwmax`) a atteint sa valeur maximale (`MERGE_LEVEL_MAX`), la boucle se termine à condition que le seuil de fusion (`cbound`) soit supérieur au carré de `mat->cwmax`.

Cette condition suggère qu'aucune fusion intéressante n'est possible et qu'il est inutile de poursuivre l'itération.

Chapitre 5

Amélioration

Algorithm 2 Version améliorée pour augmenter $cwmax$

Input: matrice mat avec n lignes and m colonnes, nombre de fusions réussies, nombre de fusions

```
1: procedure AUGMENTERCWMAXAMELIORE(mat, suc_merges, nmerges)
2:   if nombre de fusions > 0 then
3:     nombre de fusions réussies = nombre de fusions réussies + nombre de fusions      ▷ Augmenter le
       compteur si des fusions ont réussi
4:   else
5:     nombre de fusions réussies = 0      ▷ Réinitialiser le compteur si aucune fusion n'a réussi
6:   end if
7:    $TBB = 10000$ 
8:   if nombre de fusions réussies  $\geq TBB$  then
9:     if  $cwmax < \text{nombre de fusions maximum} = 32$  then
10:       $cwmax \leftarrow cwmax + 1$ 
11:    end if
12:    nombre de fusions réussies = 0      ▷ Réinitialiser le compteur après l'augmentation de  $cwmax$ 
13:  end if
14: end procedure
```

Dans cette algorithm, une “fusion réussie” se réfère à une opération où deux colonnes (ou plus) de la matrice sont combinées pour réduire la taille de la matrice tout en préservant les propriétés mathématiques nécessaires.

L’algorithme détermine si une fusion a réussi ou non en vérifiant si la fusion a conduit à une réduction du nombre de lignes de la matrice (N) et à une augmentation du poids (W), qui est le nombre total d’éléments non nuls dans la matrice. Si ces conditions sont remplies, la fusion est considérée comme réussie.

Utilisation d’un compteur pour les fusions réussies

$nombre_de_fusions_reussies$ est initialisé à 0 et est incrémenté lorsque des fusions sont effectuées. Cela permet de déterminer si les fusions sont efficaces et si l’algorithme doit continuer à augmenter $cwmax$.

Augmentation de $cwmax$

La variable $cwmax$ est incrémentée lorsque le nombre de fusions réussies est supérieur ou égal à TBB (10000 par défaut). Cela permet d’augmenter le nombre de fusions considérées pour le prochain passage, ce qui peut améliorer les performances.

Réinitialisation de la variable $nombre_de_fusions_reussies$

Après chaque augmentation de $cwmax$, le compteur $nombre_de_fusions_reussies$ est réinitialisé à 0. Cela permet de déterminer si les fusions réussies sont suffisantes pour justifier l’augmentation de $cwmax$ et de réinitialiser le compteur pour le prochain passage.

Résultats

Les résultats de l'exécution du code amélioré montrent une réduction du nombre de lignes et de colonnes à traiter, ce qui améliore les performances et réduit le temps d'exécution.

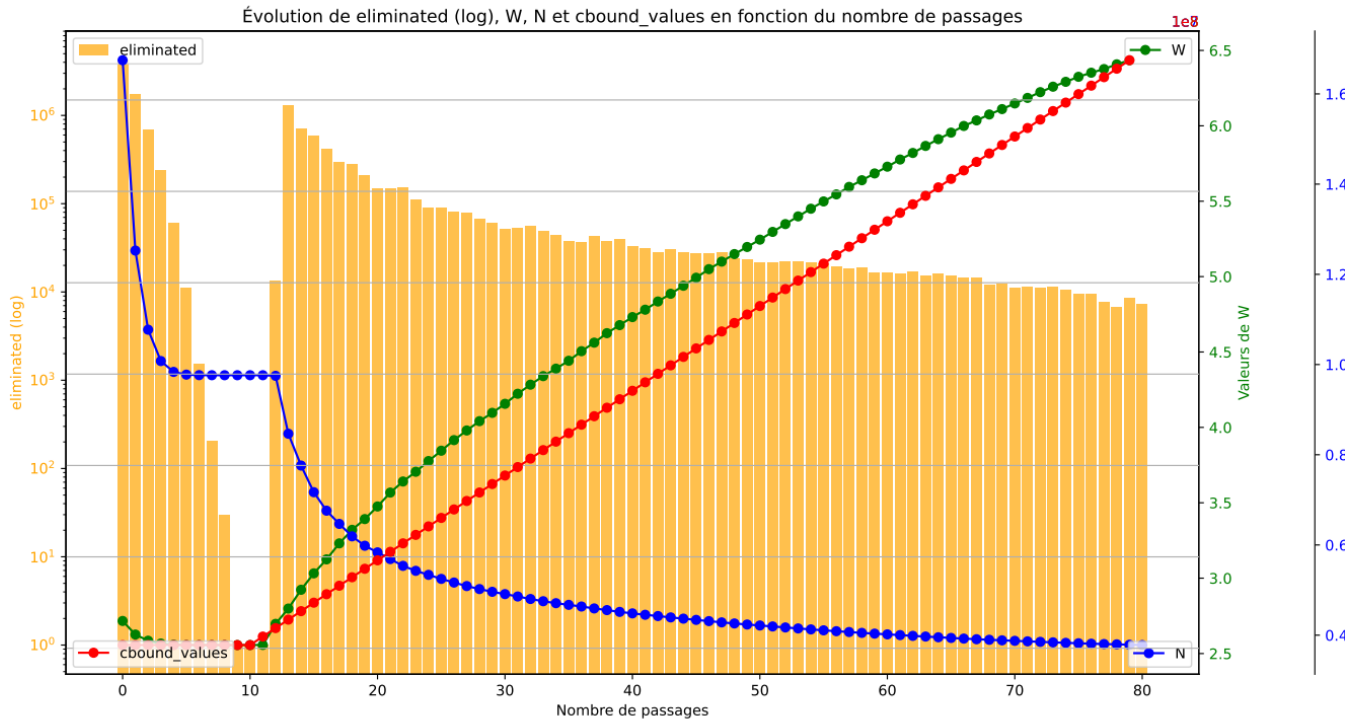


FIGURE 5.1 – Evolution des colonnes pendant le déroulement de l'algorithme 1

Analyse des Résultats

Nombre de lignes (N)

Courbe bleue : Montre une décroissance rapide initialement, suivie d'une diminution plus lente et irrégulière au fil des itérations. Cette réduction indique une diminution efficace du nombre de lignes dans la matrice pendant les premières étapes, avec une stabilisation progressive au fil des passages.

Nombre de valeurs non nulles (W)

Courbe verte : Indique une croissance continue du nombre de valeurs non nulles. Cette augmentation résulte des fusions, qui densifient la matrice en combinant des lignes et en ajoutant des valeurs.

Valeur de cbound

Courbe rouge : Représente la valeur de cbound. Elle augmente linéairement, ce qui reflète une augmentation progressive de la limite de fusion au fil des passages. La stabilisation finale montre que l'algorithme a atteint un seuil maximal de cbound.

Valeurs éliminées

Barres oranges : Illustrent le nombre de valeurs éliminées à chaque passage. Les fluctuations indiquent des cycles de réduction et de densification de la matrice. La densité des barres montre une activité continue de l'algorithme dans l'élimination des valeurs tout au long du processus.

Performance

Les résultats obtenus après 628 passages sont les suivants :

- $N = 3,788,013$
- $W = 640,797,928$
- Mémoire utilisée = 3756M

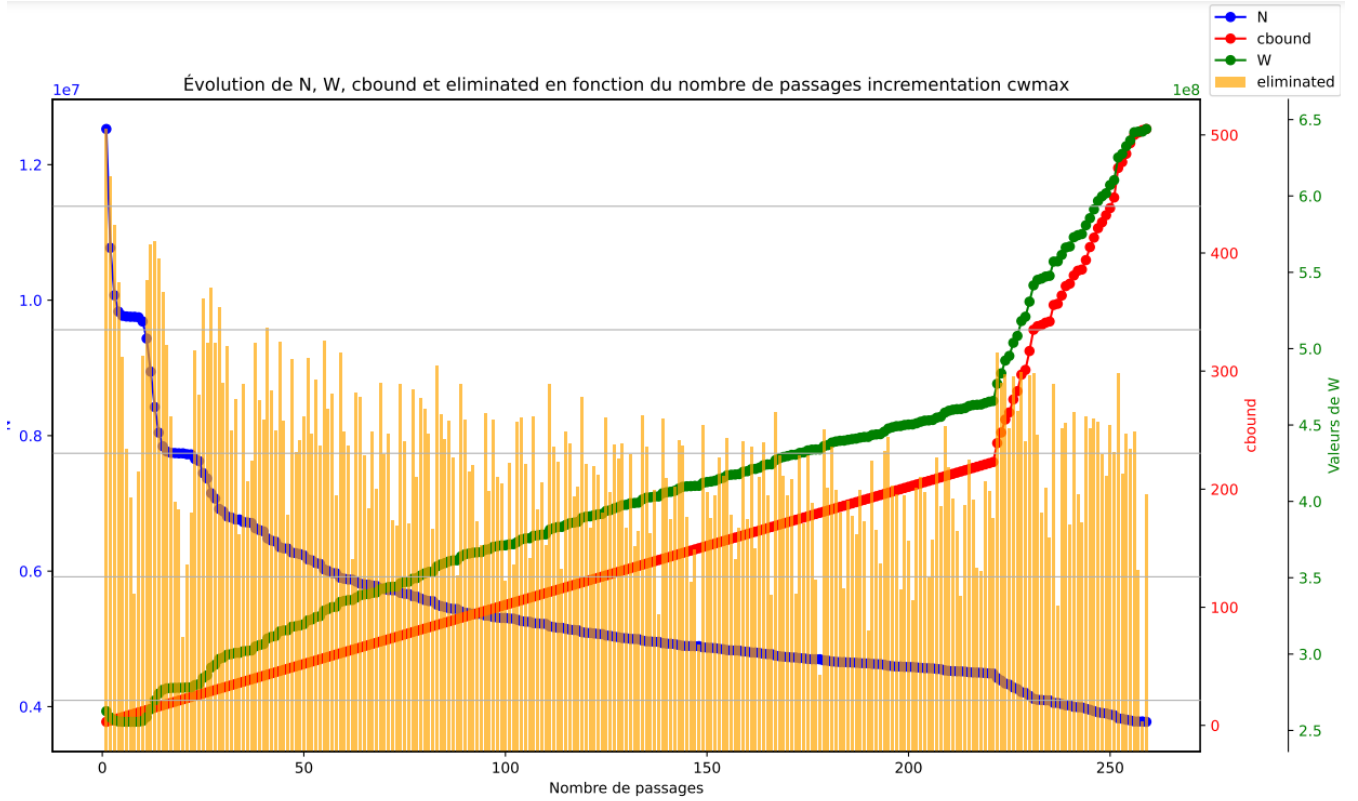


FIGURE 5.2 – Evolution des types de colonnes pendant le déroulement de l'algorithme 2

Analyse des Résultats

Nombre de lignes (N)

Courbe bleue : Montre une décroissance rapide initialement, suivie d'une diminution plus lente et irrégulière au fil des itérations. Cette réduction indique une diminution efficace du nombre de lignes dans la matrice pendant les premières étapes, avec une stabilisation progressive au fil des passages.

Nombre de valeurs non nulles (W)

Courbe verte : Indique une croissance continue du nombre de valeurs non nulles. Cette augmentation résulte des fusions, qui densifient la matrice en combinant des lignes et en ajoutant des valeurs.

Valeur de cbound

Courbe rouge : Représente la valeur de cbound. Elle augmente linéairement, ce qui reflète une augmentation progressive de la limite de fusion au fil des passages. La stabilisation finale montre que l'algorithme a atteint un seuil maximal de cbound.

Valeurs éliminées

Barres oranges : Illustrent le nombre de valeurs éliminées à chaque passage. Les fluctuations indiquent des cycles de réduction et de densification de la matrice. La densité des barres montre une activité continue de l'algorithme dans l'élimination des valeurs tout au long du processus.

Performance

Les résultats obtenus après 250 passages sont les suivants :

- $N = 3,778,592$
- $W = 642,790,954$
- Mémoire utilisée = 3513M

Comparaison entre la version améliorée et la version originale

La distinction entre la version originale et la version améliorée ne peut pas être uniquement déterminée par l'analyse des graphiques, car ce sont les résultats de W (le poids) et N (la taille de la matrice) qui sont les plus pertinents pour notre étude.

L'analyse des graphiques révèle que la version originale subit quelques passages sans réaliser d'éliminations, ce qui entraîne une perte de temps et une diminution de la performance. Cependant, il y a un aspect positif : le nombre de passages dans la version originale est nettement inférieur à celui de la version améliorée.

En examinant les résultats de la version originale, nous constatons que $N = 3788013$ et $W = 640797928$, ce qui est moins performant que la version améliorée où $N = 3778592$ et $W = 642790954$. Cela suggère que la version améliorée est plus efficace car elle produit une matrice plus petite (moins de lignes) et plus dense (plus d'éléments non nuls).

L'algorithme amélioré est plus efficace en termes de mémoire ($mem = 3513M$) par rapport à la version originale ($mem = 3756M$) et nécessite moins de mémoire pour stocker la matrice (2236 MB contre 2470 MB pour l'originale).

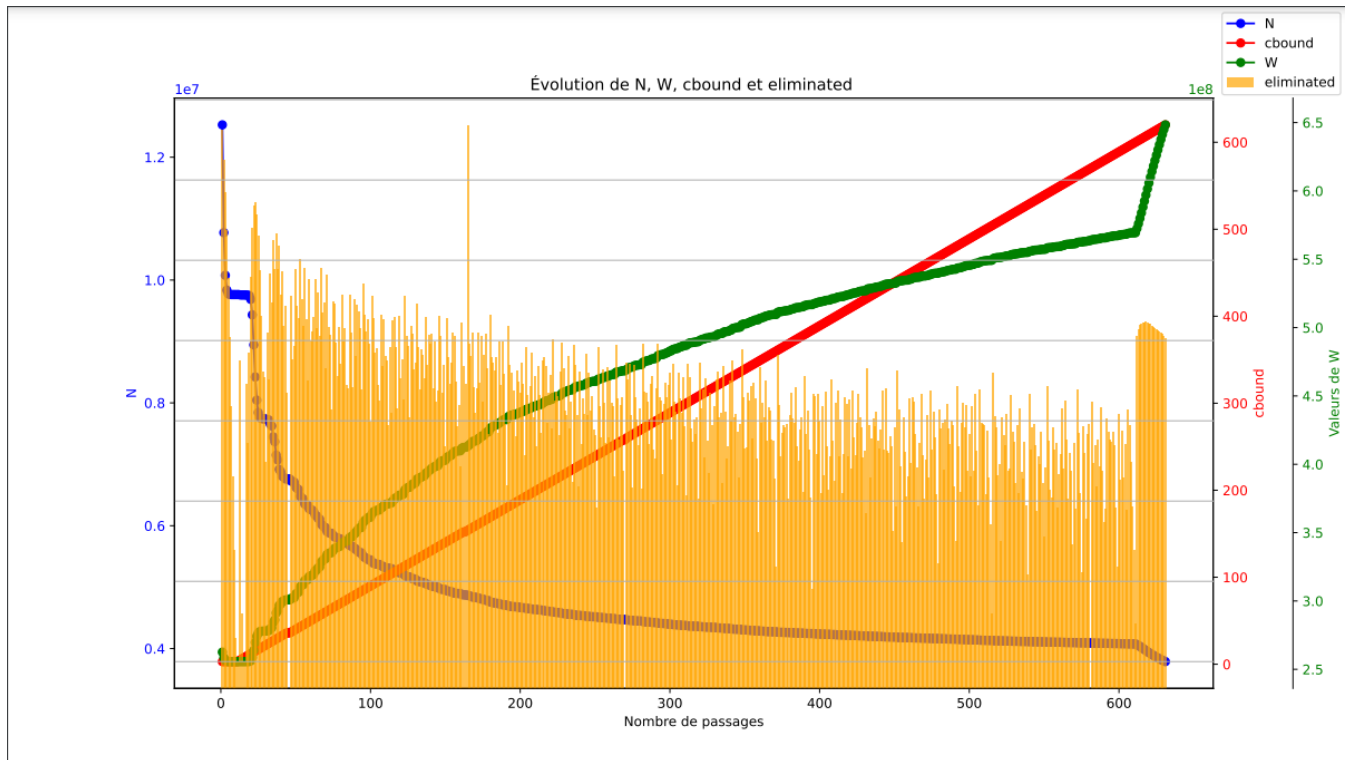


FIGURE 5.3 – Evolution des types de colonnes pendant le déroulement de l'algorithme 2

Dans cette étude, nous avons modifié le paramètre `cbound` à 1 dans le fichier de code source `merge.c` du projet CADO-NFS. Ce paramètre influence la gestion des fusions dans l'algorithme de filtrage du Crible à Corps de Nombres (NFS). Nous analysons les effets de cette modification.

Analyse des Résultats

- **Nombre de lignes (N)** : La courbe bleue montre une décroissance rapide initialement, puis une diminution plus lente et irrégulière au fil des itérations. Cette diminution indique une réduction efficace du nombre de lignes dans la matrice au cours des premières étapes, suivie d'une stabilisation progressive.
- **Nombre de valeurs non nulles (W)** : La courbe verte montre une croissance continue du nombre de valeurs non nulles. Cette augmentation est le résultat des fusions, qui densifient la matrice en combinant des lignes et en ajoutant des valeurs.
- **Valeur de `cbound`** : La courbe rouge représente la valeur de `cbound`. Elle augmente linéairement, reflétant une augmentation progressive de la limite de fusion au fil des passages. La stabilisation finale montre que l'algorithme a atteint un seuil maximal de `cbound`.
- **Valeurs éliminées** : Les barres oranges montrent le nombre de valeurs éliminées à chaque passage. Les fluctuations indiquent des cycles de réduction et de densification de la matrice. La densité des barres montre une activité continue de l'algorithme dans l'élimination des valeurs tout au long du processus.

Performance

Les résultats obtenus après 628 passages sont les suivants :

- $N = 3,787,788$
- $W = 648,335,048$
- Mémoire utilisée = 3910M

Ces résultats montrent que l'algorithme a réussi à réduire le nombre de lignes tout en augmentant le nombre de valeurs non nulles, indiquant une matrice plus dense. Cependant ça prends beaucoup de temps avec 700 pass environs contre 80 pour l'original et 250 pour la version améliorée, ainsi que le résultat reste moins performant que celui de la version améliorée.

Chapitre 6

Conclusion :

Le présent rapport s'est concentré sur l'optimisation de la phase de fusion (merge) dans l'algorithme de crible algébrique, tel qu'implémenté dans CADO-NFS, un logiciel destiné à la factorisation d'entiers et au calcul de logarithmes discrets. Ces problèmes sont fondamentaux en cryptographie, où la robustesse des systèmes de sécurité repose souvent sur la complexité de telles opérations mathématiques.

Le crible algébrique général (GNFS) est l'un des algorithmes les plus efficaces pour factoriser de grands nombres, ce qui le rend particulièrement pertinent pour analyser la sécurité des systèmes cryptographiques comme RSA. RSA repose sur la difficulté de factoriser un produit de deux grands nombres premiers, et le GNFS peut potentiellement briser cette sécurité si la taille des clés n'est pas suffisante.

Nous avons exploré en détail la phase de "merge" de CADO-NFS, qui est cruciale pour la réduction de la taille de la matrice générée durant le processus de crible. La fusion des relations collectées permet de diminuer le nombre de lignes et de colonnes de cette matrice, rendant l'étape d'algèbre linéaire plus efficace. Deux principales stratégies de fusion ont été examinées : la fusion SWAR (Simultaneous Wavefront Add and Remove) et la méthode du pivot de Markowitz. Ce rapport s'est concentré sur la fusion SWAR, détaillant ses étapes et son fonctionnement simultané pour optimiser le processus de criblage.

L'amélioration apportée à l'algorithme de fusion s'est concrétisée par une version modifiée de la procédure d'augmentation de la variable *cwmax*, qui contrôle le coût maximal autorisé pour l'élimination d'une colonne. La nouvelle version, plus efficace, utilise un compteur pour les fusions réussies, permettant ainsi une gestion plus fine et plus dynamique de *cwmax*. Les résultats montrent une réduction significative du nombre de lignes et de colonnes à traiter, améliorant ainsi les performances et réduisant le temps d'exécution global.

L'analyse comparative entre la version originale et la version améliorée de l'algorithme a révélé que la version améliorée produit une matrice plus petite et plus dense, nécessitant moins de mémoire et optimisant l'utilisation des ressources. Bien que la version originale requiert moins de passages, elle présente des inefficacités en termes de fusions non réalisées, entraînant une perte de temps et une performance inférieure.

En conclusion, l'optimisation de la phase de fusion dans l'algorithme de crible algébrique, particulièrement avec les améliorations apportées à l'algorithme de fusion de colonnes, représente une avancée significative dans le domaine de la factorisation d'entiers et du calcul de logarithmes discrets. Ces améliorations renforcent la robustesse et l'efficacité des outils cryptographiques, contribuant ainsi à la sécurité des systèmes cryptographiques modernes. Le chemin parcouru et les résultats obtenus soulignent l'importance continue de la recherche et de l'optimisation dans ce domaine essentiel de la cryptographie et de la sécurité de l'information.

Bibliographie

- [1] Charles Bouillaguet¹, Paul Zimmermann : Parallel Structured Gaussian Elimination for the Number Field Sieve
- [2] Fabrice Boudot¹, Pierrick Gaudry, Aurore Guillevic, Nadia Heninger, Emmanuel Thomé and Paul Zimmermann : Comparing the Difficulty of Factorization and Discrete Logarithm : a 240-digit Experiment
- [3] <https://gitlab.inria.fr/cado-nfs/cado-nfs>
- [4] Jérémie Detrey : Factoring integers with CADO-NFS

Parallel Implantation Methods of Iterative Methods of Linear Sparse Algebra CCA Projet

Supervisor : Charles BOUILLAGUET

BLIBEK RANIA 21215298
IDRES AMINE 21322043

Chapitre 1

Introduction

In the area of modern cryptography, many systems' security is based on the complexity of solving specific mathematical problems, in particular factorization of large integers and computation of discrete logarithms in finite fields. The general number field sieve algorithm is unique among the tools used to tackle these problems. Mainly used in breaking cryptographic systems whose security is based on these hard problems, the GNFS is sub-exponential; it is much faster than traditional factorization methods when applied to large numbers.

This report delves into the details of how the GNFS works, with special attention to one of its critical phases : the "merge" phase. This phase, immediately following the initial collection of relations, and right before the linear algebra stage, is key to keeping the size of the resulting matrix low and the factorization process optimized.

We will start with a general overview of how the GNFS is used in RSA modulus factorization and discrete logarithm computation, followed by a look at the CADO-NFS algorithm, a well-known implementation of the GNFS, and review the different merge strategies it uses. More specifically, we will cast light on the so-called SWAR method, a merge strategy that assembles the relations gathered incrementally in order to make the sieving process more efficient in general.

The "merge" phase of CADO-NFS aims to merge relations into larger, more meaningful sets, thereby simplifying the equation system to be solved afterward. We shall describe the specific steps of this phase, including memory handling techniques, adaptation of the merge thresholds, and application of the mergers themselves.

Furthermore, this report gives an improvement on the implemented co-factorization algorithm used in CADO-NFS. We are going to show how this improvement, by optimizing the variable *cwmax*, can be used to make the algorithm more effective through a better reduction in the matrix size and increasing the speed of the factorization process.

Comparative experimental results between the original and the improved version of the algorithm show the performance gain achieved by this optimization. We analyze these results in terms of the number of lines and columns reduction, the total weight of columns, and memory usage, showing in this way the effectiveness of our improved approach.

In conclusion, this report provides a rich and technical view of the GNFS algorithm and its possible improvements, offering in this way precious insights to researchers and practitioners in cryptography interested in the optimization of factorization algorithms.

Chapitre 2

Strategies for the so-called "merge" stage in the algebraic sieve

The general algebraic sieve algorithm is a very powerful tool that can be applied to break some cryptographic systems, which rely on the hardness of factoring large integers or computing discrete logarithms in finite fields.

Its applications for breaking such cryptographic systems include :

RSA modulus factoring :

RSA is one of the most widely used public-key cryptosystems, and its security is based on the presumed hardness of factoring the product of two large prime numbers (the RSA modulus). The GNFS can be used to factorize the RSA modulus $n = pq$, where p and q are large prime numbers.

In case an attacker can factorize n using the GNFS algorithm, he can further compute the Euler function $\phi(n) = (p-1)(q-1)$ and deduce the private key d from the public key e by $d = e^{-1} \bmod \phi(n)$. With the private key, the attacker can decrypt any ciphertext encrypted with the corresponding public key, thus breaking the RSA cryptosystem.

Computation of discrete logarithms :

Many cryptographic systems, such as Diffie-Hellman key exchange and DSA signature algorithm, rely on the presumed hardness of computation of discrete logarithms in certain finite fields or groups for their security. The GNFS can be adapted to compute discrete logarithms in finite fields of the form $\text{GF}(p)$, where p is prime. In computing the discrete logarithm, an attacker can break the underlying cryptosystem and recover private keys or forge digital signatures.

Where the key of the GNFS algorithm lies in finding congruences of squares modulo the number to be factored. congruence of squares which can be used to factorize the integer or for the computation of the discrete logarithm. The GNFS The algorithm is sub-exponential in complexity, meaning it's a great deal more efficient than other factoring algorithms for large integers. However it is still an exponential-time algorithm and its run-time grows rapidly as the size of the input increases.

It is important to mention that the GNFS algorithm is a classical, non-quantum algorithm, and the threat it holds for cryptographic systems is mitigated through the use of sufficiently large key sizes. As computational power increases and algorithms improve, keys may have to be enlarged to maintain the desirable level of security against GNFS and all other classical factorization algorithms.

Chapitre 3

CADO NFS

Factorization of large integers and the computation of discrete logarithms are two major problems in cryptography. It is designed to solve these problems using the algorithm of the algebraic sieve. The algebraic sieve is a sub-exponential algorithm that can factorize an integer N in $O(\exp((\log N)^{1/3}))$.

The algebraic sieve is also used to compute discrete logarithms in finite fields.

The "merge" subroutine of CADO-NFS is a vital step in the filtering process. This step reduces the size of the matrix generated from the relations collected during the sieving step. It does this by combining the relations in a way that minimizes the number of rows and columns of the matrix before the linear algebra step. This is a step that occurs after "purge," where the elimination of dependencies is done. The "merge" process combines the remaining relations to form larger and more meaningful relations. This provides optimization to the factorization process, as it reduces the total number of relations that need to be processed. In other words, during the "merge" step, the relations are combined in a strategic way of forming the dense and useful relations for the factorization process. This step is done to optimize the sieving process and to reduce the time taken in factorizing the target number.

Merging Strategies : CADO-NFS implements two main merging strategies :

SWAR (Simultaneous Wavefront Add and Remove) Merging This approach first merges all the possible pairs of relations, then the triples of relations, and so on. This approach optimizes the merging of relations in an incremental way.

Markowitz Merging This method uses Markowitz's pivot to select the best merge among the available options. Markowitz's pivot is a selection technique that seeks to minimize the number of operations needed to merge the relations.

We are interested in SWAR merging.

Step 1. Merging the pairs relations -2-merges

In the first step of the Fusion SWAR, all the possible pairs of relations are merged together to former de nouvelles relations combinées. Meaning that each pair of relations is taken into account and combined to form a new one with more meaning.

Step 2 - Merging Triplets of Relations 3-merges

Following the merge of all the pairs of relations, the SWAR Fusion goes on to combine the triplets of relations to form new relations. This step allows more relations to be grouped, hence creating a denser set.

Simultaneous Merging Process

The key aspect of SWAR Fusion is its ability to merge the relations in a parallel manner. Instead of processing a pair of relations at a time, SWAR Fusion can process multiple pairs or triplets of relations simultaneously, thus speeding up the merging process while, at the same time, maximizing the efficiency of the "merge" phase.

Advantages of SWAR Fusion

SWAR Fusion allows for progressive and parallel merging of relations, which helps to form denser and more

meaningful sets of relations. By combining several relations at once, SWAR Fusion can maximize the utilization of available resources and speed up the factorization process.

Optimization of the Factorization Process

By using SWAR Fusion, CADO-NFS can effectively combine the remaining relations to form larger sets, thus reducing the total number of relations to be processed. This optimization of the factorization process helps to significantly speed up the factorization of target composites.

CADO-NFS column merging algorithm identifies and combines dependent columns without losing any information and updates the system of equations by eliminating redundancies. This process will be explained in detail in the NEXT chapter.

Chapitre 4

How column fusion works

Identify columns to be fused :

The algorithm analyzes the interrelations between columns and identifies which columns can be combined without any loss of information. This is done by assessing the linear dependency between the columns and their weights.

Combine selected columns :

The columns identified as those that can be fused are combined into one new column. This involves modifying the coefficients of the corresponding relations in the system of equations. System of equations update : After the fusion, the system of equations is updated to reflect the changes made. This includes the elimination of redundant columns and the update of coefficients for other relations.

Column elimination offers many advantages :

System of equations size reduction : By eliminating redundant columns, the number of unknowns and the complexity of the system are reduced, making it easier to solve.

Numerical stability :

The elimination of columns can enhance numerical stability, as it reduces calculation errors and increases result precision.

Performance win :

The simplification of the system of equations means that it takes less time to evaluate and fewer resources are required to solve the system.

Implementation of Fusion in CADO-NFS

Algorithm 1 Original for Increasing cw_{\max}

Input: matrix mat with n rows and m columns, number of merges, number of possible merges

```
1: procedure INCREASECWMAXORIGINAL( $mat$ ,  $nmerges$ ,  $n\_possible\_merges$ )
2:   if All columns of weight 2 have been eliminated then
3:     if number of merges = number of possible merges then
4:        $cw_{\max} \leftarrow cw_{\max} + 1$ 
5:     end if
6:   else
7:     if  $cw_{\max} < \max \text{ number of merges} = 32$  then
8:        $cw_{\max} \leftarrow cw_{\max} + 1$ 
9:     end if
10:  end if
11: end procedure
```

In the "merge" (fusion) algorithm of the Structured Gaussian Elimination (SGE) used in CADO-NFS, `cwmax` is a variable that controls the maximum cost allowed for the elimination of a column. More precisely, `cwmax` plays the following role :

- At each iteration of the main loop, we form a sub-matrix `S` containing the columns whose weights are smaller than or equal to `wmax` (maximum number of fusions = 32).
- For each row of the transpose `R` of `S`, we compute an upper bound `c` on the cost of elimination of the corresponding column in matrix `M`.
- If $c \leq cwmax$, the column is added to a set `L` of columns that are candidates for elimination.
- A big independent set `J` of columns of `L` with low total cost is extracted and eliminated from `M`.

So, `cwmax` controls which columns are considered for elimination, according to their estimated cost. An increase of `cwmax` allows the elimination of more expensive columns, which can further reduce the size of the matrix but at the cost of a potential overhead.

Fuse columns

1. Memory management :

- if `merge_pass` (the number of passes of fusion) is equal to 2 or if `mat->cwmax` (maximum number of columns that can be fused) is greater than 2, then it calls the `heap_garbage_collection` function. This function probably frees up some used memory not needed anymore, to optimize memory management during fusion.

2. Fusion threshold adjustment :

- once `mat->cwmax` is greater than 2, then the variable `cbound` gets incremented by `cbound_incr`. `cbound` is a threshold used to determine possible fusions. Its value affects speed and size of the final system. A smaller `cbound_incr` will result in a smaller size of the final matrices, while it will make fusion slower, and vice versa.

3. Storage of reference values :

- several variables store values of number of remaining lines (`lastN`), total weight of columns (`lastW`) and weight/number of lines ratio (`lastWoverN`) before the fusion pass. These values will be used later to track how the system is changing.

4. Computing possible relations :

- the section commented with `ifdef TRACE_J` is probably used for debugging and prints out information on certain specific relations.

5. Debugging information :

- the section commented with `ifdef BIG_BROTHER` prints out the number of passes, the maximum number of columns to be fused (`cwmax`), and the fusion threshold (`cbound`). This information is helpful to understand how the algorithm is changing.

6. Computing possible relations :

- the function `compute_R` computes the new possible relations respecting the potential fusions.

7. Temporary memory allocation :

- a temporary array `L` is allocated, that will store indices used during the fusing phase.

8. Possible fusions searching :

- the function `compute_merges` analyzes the possible relations and stores indices of the potential fusions in the `L` table. It also returns the total number of possible fusions (`n_possible_merges`).

9. Applying fusions :

— La fonction `apply_merges` uses the array `L` and the number of possible merges to merge the identified columns. It returns the actual number of performed merges .

10. Freeing of memory :

— The memory allocated to the temporary array `L` is deallocated.

11. Additional memory freeing :

— Memory allocated to another temporary array is deallocated .

12. Merges checking :

— If no merge has been performed while there were some possible, `nmerges` is zero while `n_possible_merges` is non-zero, an error is raised. This most likely shows a sorting problem in the relationships .

13. Merging Strategy for next pass :

— The code retrieves how the maximum number of columns that can be merged — `mat` → `cwmax` — evolves from the number of merges performed.

14. Recompression :

— If the remaining number of columns (`mat->rem_ncols`) becomes less than some threshold value, being 66% of the number of columns at the beginning; a recompression is done by the function `recompress`. The recompression refines the management of memory by eliminating empty lines and columns.

15. Performance measurement and output information :

- The code computes the CPU time and time passed since the beginning of the fusion pass
- The routine outputs information tagged as "pass took." Such measurements help evaluate the effectiveness of the fusion phase.
- The code updates variables to accumulate the total CPU and passed time.
- The section of commented-out code with the tag `ifdef BIG_BROTHER` optionally outputs more information about the total passed time
- The code calculates an average fill rate based on the increase of the total column weight with respect to the number of eliminated rows.
- It outputs a set of output information summarizing the actual status of the algorithm :
- The number of remaining rows (`mat->rem_nrows`).
- Total weight of the columns (`mat->tot_weight`).
- An estimate of the used memory in Mbytes.
- Weight to number of row report.
- Average fill rate.
- CPU and total passed time since the beginning of the execution.
- The number of the fusion pass (`merge_pass`)
- The maximum number of columns that can be fused together (`mat->cwmax`).

The code forces flushing the output buffer (`fflush`) to ensure the information is immediately shown.

Stopping rule of the loop

The main loop iterates until a stopping rule condition is met.

The code checks whether an average density (computed internally) is higher than or equal to a target density (`target_density`).

The density is a measure of the "fullness" of the system of linear equations.

Alternative stopping due to low fusion potential

The code provides an alternative stopping criterion due to a low potential for further fusion.

If no merge has been done (`nmerges` is zero) and the maximum number of columns that can be merged (`mat->cwmax`) has reached its maximum value (`MERGE_LEVEL_MAX`), then the loop ends if the merging bound (`cbound`) is greater than the square of `mat->cwmax`.

This condition suggests that no interesting merge is possible and continuing the iteration is useless.

Chapitre 5

Amelioration

Algorithm 2 Improved version to increase cwmax

Input: Matrix mat with n rows and m columns, number of successful merges, number of merges

```
1: procedure IMPROVEINCREASECWMAX(mat, suc_merges, nmerges)
2:   if number of merges > 0 then
3:     number of successful merges = number of successful merges + number of merges    ▷ Increase the
       counter if some merge succeeded
4:   else
5:     number of successful merges = 0    ▷ Reset the counter if no merge succeeded
6:   end if
7:   TBB = 10000
8:   if number of successful merges >= TBB then
9:     if cwmax < max number of merges = 32 then
10:      cwmax <- cwmax + 1
11:    end if
12:    number of successful merges = 0    ▷ Reset the counter after cwmax is increased
13:  end if
14: end procedure
```

In this algorithm, a "successful merge" refers to an operation whereby two or more columns of the matrix are combined so that the matrix size is reduced while the necessary mathematical properties are preserved. The algorithm decides whether a merge has succeeded by checking whether merging has resulted in decreasing the number of rows of the matrix (N) and increasing the weight (W), which is the total number of nonzero elements in the matrix. Only if both conditions are met can this merge be considered successful.

Successful merge counter

The variable number_ successful_ merges is set to zero. Whenever merges occur, it is incremented. This makes it possible to determine whether the merges are effective and whether the algorithm should continue to increment cwmax.

cwmax increment

The variable cwmax is incremented whenever the number of successful merges is greater than or equal to the value of TBB. The default is set to 10000. This makes it possible to increment the number of considered merges for the next pass, where possibly more successful merges will be found.

Reset of the variable number_ successful_ merges

After each increment of cwmax, the number_ successful_ merges counter is reset to zero. This allows one to know whether successful merges are more than enough to merit an increment of cwmax and to reset the counter for the next pass.

Results

The results of the execution of the improved code reveal a decrease in the number of lines and columns that needed to be processed, which increased the performance and reduced the execution time.

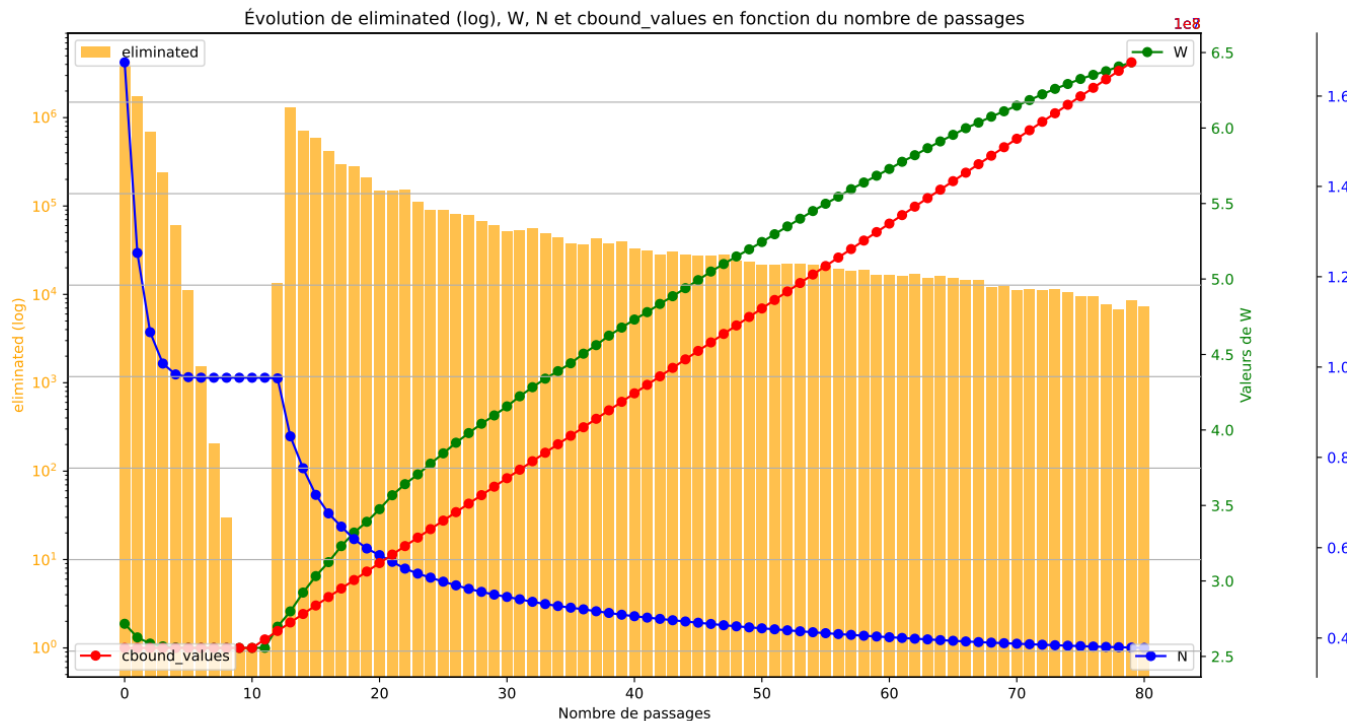


FIGURE 5.1 – Evolution of Columns During the Execution of Algorithm 1

Analysis of the Results

Number of Lines (N)

The blue curve displays a high decrease initially and then a slower, irregular decrease as the iterations progress. This reduction shows the efficient decrease in the number of lines in the matrix during the first stages, stabilizing progressively as the passages go by.

Number of Nonzero Values (W)

Green curve : the number of nonzero values keeps growing. That increase is due to merges, which make the matrix dense by putting together lines and adding values.

cbound Value

Red curve : cbound value. The curve is linearly increasing—meaning, there is a progressive increase in the fusion limit as the passes increase. The final stabilization indicates that the algorithm has reached its maximum limit of cbound.

Number of Values Removed

Orange bars : demonstrate the number of values removed at each pass. The ups and downs reflect a series of matrix density reduction and increase. Density with the bars indicates there is constant activity of the algorithm in value removal throughout the process.

Performance

The results obtained after 628 passes are :

- $N = 3, 788, 013$
- $W = 640, 797, 928$
- Memory Used = 3756M

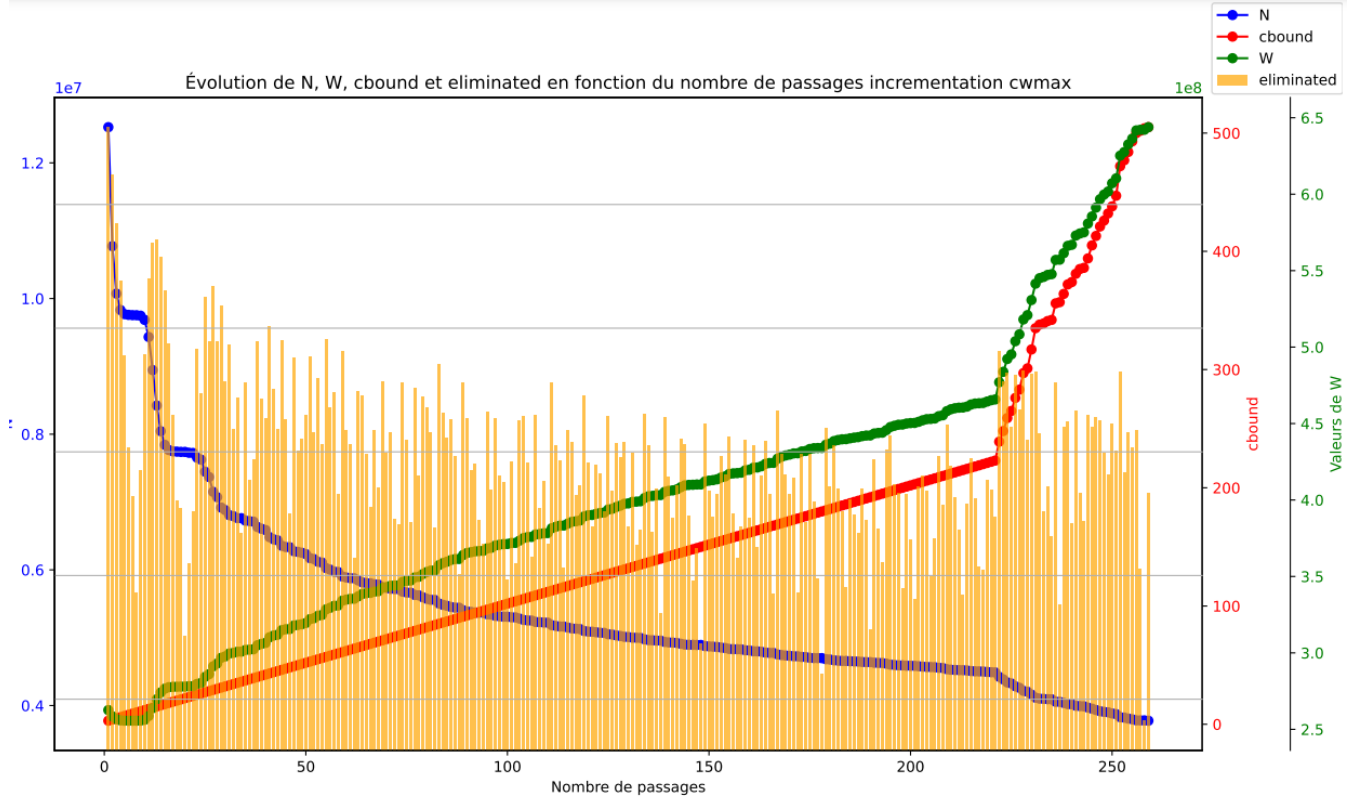


FIGURE 5.2 – Evolution of Columns During the Execution of Algorithm 2

Analyzing Results

:

Number of Lines (N)

The blue curve shows a rapid drop in the beginning followed by a slow and irregular decrease in number of lines over the iterations. This reduction indicates an efficient decrease in the number of lines in the matrix in the early stages, with a progressive stabilization over the passes.

Number of Nonzero Values (W)

Green curve : It shows an increasing rate in the number of non-zero values. This increase is the result of fusions, which densify the matrix by combining lines and adding values.

Cbound Value

The red curve represents the value of cbound ; it linearly increases, reflecting a progressive increase of the fusion limit for each pass. The final stabilization shows that the algorithm reached a maximum limit of cbound.

Values Eliminated

The orange bars show the number of values that were eliminated in each pass. The ups and downs show cycles of reduction and densification of the matrix. The density of the bars shows continuous activity of the

algorithm in value elimination during the entire process.

Performance

The results obtained after 250 iterations are as follows :

- $N = 3,778,592$
- $W = 642,790,954$
- Memory Used = 3513M

Comparison between the improved version and the original version

The difference between the original version and the improved version can't be determined merely by graph analysis since it's the results of W (weight) and N (matrix size) that are most relevant for our study.

Graph analysis shows that the original version makes some passes without performing any eliminations; this wastes time and deteriorates the performance. However, on the bright side, the number of passes made by the original version is much less than that of the improved version.

Analyzing the results of the original version, we see that $N = 3788013$ and $W = 640797928$, which is less efficient than the improved version, whose $N = 3778592$, and $W = 642790954$, indicating that the improved version is more efficient as it yields a smaller (less number of lines) yet denser (more non-zero elements) matrix.

The improved algorithm is also more efficient with memory usage where $\text{mem} = 3513\text{M}$ compared to the original version where $\text{mem} = 3756\text{M}$ and also less memory usage to store the matrix, with 2236 MB to the original version's 2470 MB.

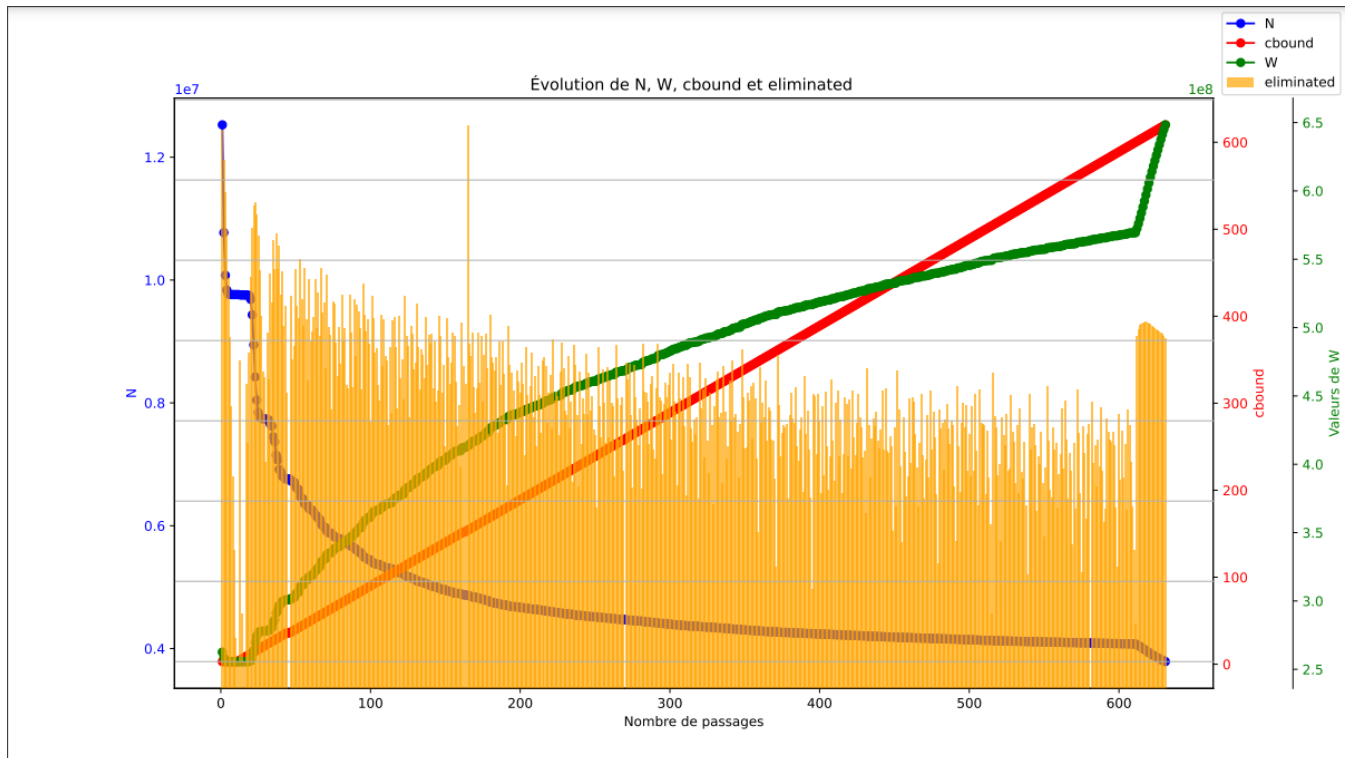


FIGURE 5.3 – Evolution of Column Types During the Execution of Algorithm 2

In this study, we changed the cbound parameter to 1 in the merge.c source code file of the CADO-NFS project. This parameter impacts how fusions are managed in the filtering algorithm of the Number Field Sieve (NFS). We analyze the effects of this change.

Analysis of Results

- Number of rows (N) : The blue curve shows a steep, sharp drop at the beginning followed by a much slower but jagged decrease in the number of rows in the matrix. This decrease can be explained by the fact that in the first few iterations, the number of rows decreases efficiently, but it reaches a saturation point afterward.
- Number of non-zeros (W) : The green curve shows an upward trend in the number of non-zeros. This increase is a consequence of fusions ; they create non-zeros in the matrix by fusing rows together.
- Value of cbound : The red curve is a graph of the cbound value. It increases linearly, indicating an increase in the fusion limit with each pass until it saturates, showing that the algorithm has reached its maximum limit.
- Values eliminated : The orange bars show the number of values eliminated at each pass. The fluctuations indicate cycles of reduction and densification of the matrix. The density of the bars shows that the algorithm is continuously active in eliminating values throughout the process.

Performance

The results obtained after 628 passes are as follows :

- N = 3, 787, 788
- W = 648, 335, 048
- Memory used = 3910M

These results show that the algorithm has successfully reduced the number of rows while increasing the number of non-zeros, indicating a denser matrix. However, it takes a lot of time with 700 passes, approximately against 80 for the original and 250 for the improved one, and the result is still less performant.

Chapitre 6

Conclusion :

This report has focused on the optimization of the merge phase in the algebraic sieving algorithm, as implemented in CADO-NFS—a software for integer factorization and discrete logarithms. These two problems are, in fact, the core problems of cryptography, where the security of cryptographic systems relies mostly on the hardness of mathematical operations. The algebraic sieve is the most efficient way to factorize large numbers and appears very significant while analyzing the security of cryptographic systems like RSA. RSA relies on the hardness of factoring the product of two large primes, and the GNFS could potentially break it if the key size is too small. The merging process of the generated matrix in CADO-NFS has been illustrated with minute details. Since the size of the matrix generated in the sieving process has to be kept as small as possible to keep the linear algebra phase efficient, these algorithms are applied. This report has described two basic merging strategies : SWAR (Sieve and Wrap Around Ratio) and Markowitz's pivot method. The merging in the SWAR strategy is described, with its steps, followed by an explanation of how it works in parallel to optimize the sieving process.

The improvement brought to the merging algorithm has materialized into the fact that now the incrementation procedure of the variable cw_{max} , controlling the maximal allowed cost for the elimination of a column, has been turned into an enhanced version, which uses a counter for the number of successful mergers and can manage cw_{max} in a more sensitive and dynamic way. That is, the number of rows and columns to be processed decreased significantly, thus rendering the process more efficient and less time-consuming.

The comparative analysis between the original and the improved version of the algorithm showed that the improved version produces a much smaller and more compact matrix, requiring less memory and optimizing resource usage. On the other hand, even though the original version needs fewer passes, it presents inefficiencies in terms of fusions that do not actually happen, leading to a waste of time and degraded performance.

Therefore, optimization of the merge phase in the algebraic sieve factorization algorithm, with improvements regarding column merge, is a significant advancement in the field of integer factorization and discrete logarithm computations. Such improvements strengthen the robustness and efficiency of cryptographic tools. They thus take their rightful place in the security of contemporary cryptosystems. The way traversed and the results obtained underpin the continuous necessity for research and optimization in this fundamental area of cryptology and information safety.

Bibliographie

- [1] Charles Bouillaguet¹, Paul Zimmermann : Parallel Structured Gaussian Elimination for the Number Field Sieve
- [2] Fabrice Boudot¹, Pierrick Gaudry, Aurore Guillevic, Nadia Heninger, Emmanuel Thomé and Paul Zimmermann : Comparing the Difficulty of Factorization and Discrete Logarithm : a 240-digit Experiment
- [3] <https://gitlab.inria.fr/cado-nfs/cado-nfs>
- [4] Jérémie Detrey : Factoring integers with CADO-NFS